

**PA29) 준 도심지역에서 이중 채널 유리코일 샘플러를 이용한 HONO 측정**

**Measurement of HONO using a Dual-channel Glass-Coil Sampling Technique in a Semi-urban Area**

박승식 · 홍상범<sup>1)</sup> · 이재훈<sup>1)</sup> · 조성용 · 김승재

전남대학교 환경공학과, <sup>1)</sup>광주과학기술원 환경공학과

**1. 서 론**

아질산 (nitrous acid, HONO) 화합물은 대기중 OH 라디칼의 기작 ( $\text{HONO} + \text{h}\nu \rightarrow \text{OH} + \text{NO}$ )으로서 광화학 스모그의 생성을 야기 시키는 연쇄 메커니즘의 개시제로서 대기화학에서 중요한 역할을 하는 것으로 알려져 있다. 또한, HONO는 사람의 호흡기 계통을 통해 흡입시 인체 내 반응으로 인해 강력한 발암물질인 니트로사민 (nitrosamines)을 생성할 수 있는 것으로 알려져 있다. 대기중 HONO는 차량 배출가스와 같은 연소과정 및 생체소각 (biomass burning) 과정을 통해 직접적으로 배출되기도 하지만, 건물, 지표면, 또는 대기 에어로졸 표면에서  $\text{NO}_2$ 와 수분의 비 균일반응 (heterogeneous reactions)을 통해 생성 (Notholt et al., 1992; Reisinger, 2000; Stutz et al., 2004) 되는 것으로 조사 되었다. HONO는 또한  $\text{NO}_2$ 와 수분의 존재 하에서 soot 입자표면을 통해 생성되는 것으로 실험실 연구를 통해 관측이 되었지만 (Ammann et al., 1998), 에어로졸 성상에 의한 HONO 생성 가능성에 대해서는 여전히 관심의 대상이 되고 있다.

HONO 측정에는 광 투과 흡수원리를 이용한 DOAS 기법 (Notholt et al., 1992; Reisinger, 2000; Stutz et al., 2004),  $\text{Na}_2\text{CO}_3$  코팅처리 디누더/화학적 발광 분석기 (Febo and Perrino, 1991) 및 단일채널 glass coil scrubbing/HPLC/visible 검출기법 (Harrison et al., 1996; Zhou et al., 2002)을 통해 주로 이루어져 왔으며 HONO가 대기화학에 미치는 영향 및 생성 메커니즘을 올바로 이해하기 위해 실시간 측정기법들이 개발되어 현재 많이 사용되고 있다.

논문에서는 본 연구실에서 자체 설계 제작한 이중 채널 유리코일 샘플러를 이용하여 광주지역 준 도심지역에서 가을철에 1시간 간격으로 대기 HONO 농도를 측정하여 시간변동특성에 대해 조사하고 HONO 농도에 미치는 놓지 폐기물 소각의 영향 및 야간 HONO 생성 기작을 조사하였다.

**2. 연구 방법**

대기 HONO 측정은 광주과학기술원 삼성환경동 건물 3층 옥상 (약 10m)에서 수행되었다. 측정위치 주변은 농경지 (agricultural lands)로 둘러싸인 준 도시지역에 속하며 광주시 중심가로부터 북서쪽으로 약 20 km에 위치하고 있다. 측정위치로부터 가장 가까운 도로는 북동쪽으로 대략 1.0 km에 놓여 있으며 호남고속도로가 서쪽으로 3km에 위치해 있다.

1시간 기준의 HONO 측정은 이중 채널 유리코일 (dual-channel glass-coil) 포집장치 (sampler)에 의해 가을철에 해당하는 9월, 10월, 및 11월에 5~10일씩 각각 수행되었다. 사용된 유리코일 샘플링 장비의 개략도가 그림 1에 도식화되어 있으며 사용된 유리코일 샘플러는 이중 코일 시스템으로 되어있으며 크게 세 부분으로 구성되어 있다; ① 기체-액체 접촉 및 HONO 흡수를 위해 0.2cm 내경의 유리관으로 이루어진 28 회전 유리코일 (helix 직경 ~2cm, 총 길이 ~120cm), ② 샘플공기 및 흡수용액 도입을 위한 코일 상류의 입구부분, 및 ③ 기체-액체 분리를 위한 유리코일 하류의 폭넓은 유리관 부분으로 되어 있다. 간략히 정리하면 annular denuder가 없는 첫 번째 채널 유리코일 시스템 (A)은 대기 중 총 nitrite ( $\text{HONO} + \text{입자상 } \text{NO}_2^-$ )를 채취하기 위해 사용되고 두 번째 채널 시스템 (B)은 annular denuder를 이용해 입자상의  $\text{NO}_2^-$ 만을 채취하는데 사용된다. 실제 HONO농도는 첫 번째 측정시스템에서 측정한 총 nitrite에서 두 번째 시스템에서 측정한 입자상  $\text{NO}_2^-$ 를 뺀으로서 얻어진다. 일반적으로 HONO 측정시스템

에서 문제가 되는 NO<sub>2</sub>에 의한 간섭영향은 유리코일 한 채널당 0.36%의 NO<sub>2</sub>가 HONO농도에 영향을 주는 것으로 예측되어 이 중 채널 시스템에서 HONO의 간섭문제는 대기측정에서 거의 무시할 수 있음이 확인되었다.

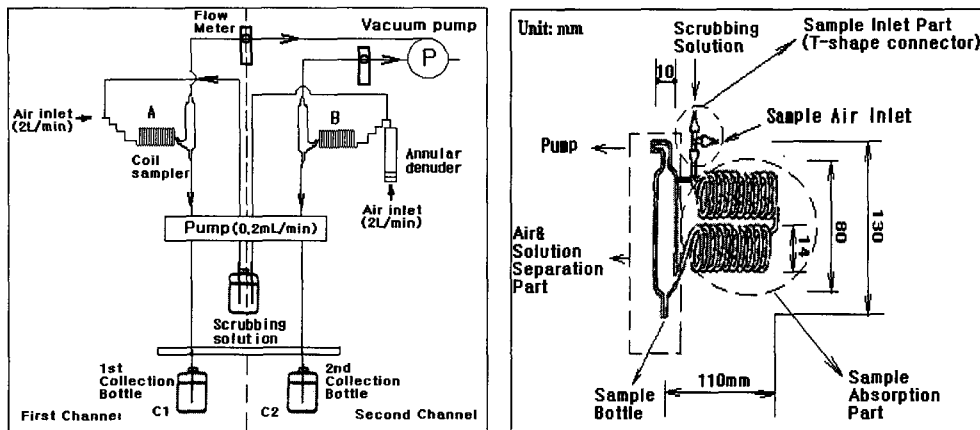


Fig. 1. Schematic diagram of a dual-channel glass coil sampler and detail of glass coil sampling section.

이중 채널 유리코일 방법을 통해 흡수용액 (1.8 mM Na<sub>2</sub>CO<sub>3</sub>/1.7 mM NaHCO<sub>3</sub>)으로 한 시간 샘플링 주기로 채취한 HONO 성분의 분석은 이온크로마토그래피 (DX-120)에 의해 수행되었으며, 저녁시간 대 HONO 생성 메커니즘을 규명하기 위해 HONO 및 NO<sub>2</sub> 측정 외에도 에어로졸 표면에 의한 영향을 보기 위해 PM<sub>10</sub> 질량농도를 측정하여 관련성을 조사하였다. NO<sub>2</sub>(g)는 NO<sub>x</sub> 분석기 (Dasibi Environmental Corp., USA)에 의해 측정되었다. HONO 시스템의 정밀도, 정확도, 및 검출한계는 각각 7%, <5% 및 10.5 ppt로 조사되었다.

### 3. 결과 및 고찰

자체 개발한 HONO 측정용 이중채널 유리코일 샘플러를 이용하여 광주지역 실외환경에서 1시간 단위로 대기샘플을 슬러리 상태로 자동으로 채취한 후 이온크로마토그래피로 HONO 농도를 분석하였다. 그림 2는 세 번의 집중측정기간 중 얻은 HONO 농도를 기상상태의 변화에 따라 분류한 그림으로 농경지 폐기물 소각 (Type III)이나 대기 중 상대습도가 상당히 높은 조건인 Types IV와 VI에서 높은 HONO 농도가 관측이 되었다. HONO 농도의 시간별 변화추이를 살펴봤을 때 낮 시간대에는 HONO의 광 분해 반응으로 최소치를 보인 반면, 밤 시간대에는 NO<sub>2</sub>와 수분의 표면반응을 통해 HONO 농도는 최대치를 보여 주었다. HONO의 평균농도는 보통 0.3~1.2 ppb이었으며, 측정지역 주변의 biomass (agricultural wastes) burning 시 HONO 농도는 2.6 ppb까지 상승하였다. 그리고 HONO vs. HONO/NO<sub>2</sub> vs. PM<sub>10</sub> 질량농도간의 관계로부터 밤 시간대에 측정된 HONO는 에어로졸 표면에서 NO<sub>2</sub> 및 수분과 관련된 비 균일반응을 통해 생성되는 것으로 확인이 되었다.

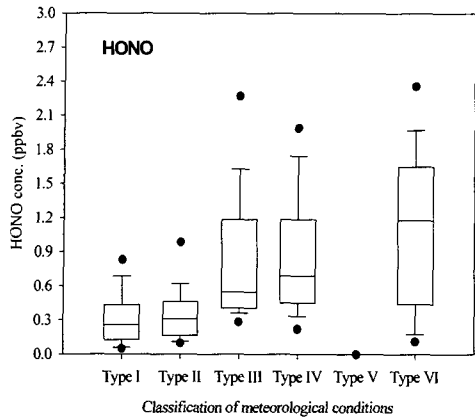


Fig. 2. Characteristic of HONO concentrations with meteorological conditions.

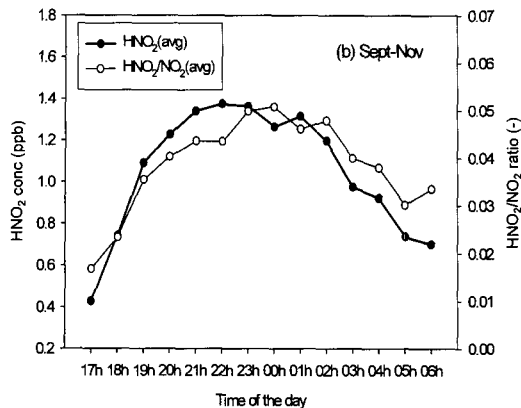


Fig. 3. Relationship between HONO and HONO<sub>2</sub>/NO<sub>2</sub>.

## 사사

본 연구는 한국과학재단 특정기초연구(과제번호 R01-2005-000-10775-0) 지원으로 수행되었으며 이에 감사드린다.

## 참고문현

- Ammann, M., Kalberer, M., Jost, D. T., Tobler, L., Rssler, E., Piguet, D., Gggler, H.W., Baltensperger, U. (1998) Heterogeneous production of nitrous acid on soot in polluted air masses, *Nature* 395, 157-160.
- Febo, A., Perrino, C. (1991) Prediction and experimental evidence for high air concentration of nitrous acid in indoor environments, *Atmos. Environ.* 25A, 1055-1061. Notholt, J., Hjorth, J., Raes, F., 1992. Formation of HNO<sub>2</sub> on aerosol surfaces during foggy periods in the presence of NO and NO<sub>2</sub>. *Atmospheric Environment* 26A, 211-217.
- Harrison, R.M., Peak, J.D., Collins, G.M. (1996) Tropospheric cycle of nitric acid. *Journal of Geophysical Research* 101, 14429-14439.
- Reisinger, A.R. (2000) Observations of HNO<sub>2</sub> in the polluted winter atmosphere: possible heterogeneous production on aerosols. *Atmospheric Environment* 34, 3865-3874.
- Stutz, J., Alicke, B., Ackermann, R., Geyer, A., Wang, S., White, A.B., Williams, E.J., Spicer, C.W., Fast, J.D. (2004) Relative humidity dependence of HONO chemistry in urban areas, *J. Geophys. Res.* 109, D03307, doi:10.1029/2003JD004135.
- Zhou, X., Civerolo, K., Dai, H., Huang, G., Schwab, J., Demerjian, K. (2002) Summertime nitrous acid chemistry in the atmospheric boundary layer at a rural site in New York State, *J. Geophys. Res.* 107, D21, 4590, doi:10.1029/2001JD001539.